

- Островський І.В. Про суму цілих функцій цілком регулярного зростання. – ДАН УРСР, сер. А, 1982, № 2. 3. Гольдберг А.А., Островський І.В. Розподілення значень мероморфних функцій. – М.: Наука, 1970. 4. Гольдберг А.А., Островський І.В. Про зростання цілих ермітово-позитивних функцій скінченного порядку. – ДАН УРСР, сер. А, 1981, № 4.
5. Кондратюк А.А. Метод рядів Фур'є для цілих і мероморфних функцій вповне регулярного росту. – Мат. сб., 1978, т. 106, № 3.
6. Кондратюк А.А. Застосування теореми про компактності сімейств субгармонічних функцій до мероморфних. – Усп. мат. наук, 1982, вип. 4 /226/. 7. Кондратюк А.А. Метод рядів Фур'є для цілих і мероморфних функцій вповне регулярного росту. II. – Мат. сб., 1980, т. 113, № 1. 8. Левин Б.Я. Розподілення коренів цілих функцій. – М.: Гостехиздат, 1956. 9. Неванліна Р. Однозначні аналітичні функції. – М.; Л.: Гостехиздат, 1941. 10. Хейман У., Кеннеді П. Субгармонічні функції. – М.: Мир, 1980, II. *Hullengren A. Valiron deficient values for meromorphic functions in the plane - Acta math., 1970, v. 124.*

Стаття надійшла до редакції 01.03.82

УДК 539.3

Р.М.Бурда, Д.Г.Хлебніков

ВИЗНАЧЕННЯ ЗУСИЛЛЯ ГЕРМЕТИЗАЦІЇ ДЛЯ УЩІЛЬНЮЮЧОГО ЕЛЕМЕНТА  
У ВИГЛЯДІ КРУГЛОЇ ПЛАСТИНКИ СЕРЕДНЬОЇ ТОВЩИНИ

Розглянемо ущільнюваче з'єднання, що складається з ущільнюючого клапана, який моделюється круглою пластинкою середньої товщини, і жорсткої опори /рис. 1/. Внаслідок недосконалого виточування та інших випадкових факторів між клапаном і сидлом /опорою/ є щілини. Для їх усунення і забезпечення герметичності з'єднання клапан притискається до опори деяким зусиллям. Те мінімальне зусилля, яке забезпечує повний контакт пластини з опорою, вважатимемо зусиллям герметизації.

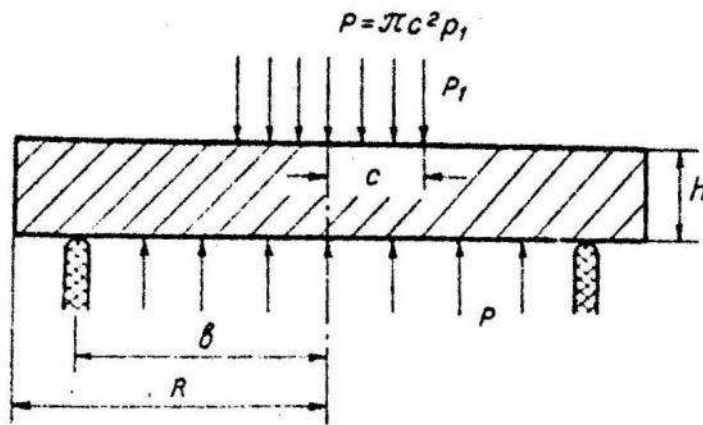


Рис. 1.

Нехай відхилення опори від плоскої форми має циклічний характер, тобто край опори є кривою лінією, що має рівняння

$$z = f(\theta) = \frac{d}{2} (1 + \cos n\theta), \quad \tau = b. \quad /1/$$

Умова контакту пластинки з опором має вигляд

$$w(\theta) = f(\theta). \quad /2/$$

Прогин пластинки  $w(\tau, \theta)$  визначаємо, використовуючи теорію Е.Рейснера, згідно з якою напруженодеформований стан пластинки середньої товщини описується системою рівнянь [2]:

$$\begin{aligned} D \Delta \Delta w &= q - \kappa \Delta q, \\ \Delta \Phi - \delta^2 \Phi &= 0, \end{aligned} \quad /3/$$

де  $\Phi(\tau, \theta)$  - функція напружень;

$$\Delta = \frac{\partial^2}{\partial z^2} + \frac{1}{\tau} \frac{\partial}{\partial \tau} + \frac{1}{\tau^2} \frac{\partial^2}{\partial \theta^2}; \quad D = \frac{Eh^3}{12(1-\nu^2)}; \quad \kappa = \frac{h^2 2-\nu}{10 1-\nu}; \quad \delta^2 = \frac{10}{h^2},$$

$E, \nu$  - модуль Юнга і коефіцієнт Пуассона;  $h$  - товщина пластинки.

Зовнішнє навантаження на пластинку  $q(\tau, \theta)$  записуємо у вигляді

$$q(\tau, \theta) = p_1 \chi(c-\tau) - p_1 \chi(b-\tau) - q_0(\theta) \delta^2(\tau-b),$$

де  $\delta(u)$  - дельта функція Дірака;  $\chi(u)$  - обмежена функція Хевісайда.

До системи рівнянь /3/ додаємо граничні умови вільного краю на контурі  $z=R$  ( $R$  - радіус пластинки)

$$M_z \Big|_{z=R} = 0; \quad M_{z\theta} \Big|_{z=R} = 0; \quad Q_z \Big|_{z=R} = 0. \quad /4/$$

Вирази для  $M_z, M_{z\theta}, Q_z$  через  $w, \varphi$  наведені у праці [2].

Крім цього, функції  $w(z, \theta), \varphi(z, \theta)$  та їх похідні повинні бути обмежені при  $z=0$ .

Розв'язок системи диференціальних рівнянь /3/, а також невідомий контактний тиск  $q_0(\theta)$  шукаємо у вигляді

$$w(z, \theta) = R_0(z) + R_n(z) \cos n\theta, \quad /5/$$

$$\varphi(z, \theta) = \rho_0 \int_0^z (\delta r) + \rho_n \int_0^z (\delta r) \cos n\theta, \quad /6/$$

$$q_0(\theta) = \beta_0 + \beta_n \cos n\theta. \quad /7/$$

З умов рівноваги пластинки та знакосталості контактного тиску знаходимо

$$\beta_0 = \beta_n = \frac{\rho - \pi b^2 \rho}{2\pi b}. \quad /8/$$

Після підстановки виразів /5/-/7/ у перше з рівнянь системи /3/ одержимо для  $R_n(z)$  диференціальне рівняння Ейлера, розв'язуючи яке маємо

$$R_n(z) = \frac{(\rho - \pi b^2 \rho) b^2}{16\pi n D} \left[ A_n \left(\frac{z}{R}\right)^n + B_n \left(\frac{z}{R}\right)^{-n} + C_n \left(\frac{z}{R}\right)^{n+2} + D_n \left(\frac{z}{R}\right)^{-n+2} \right] + R_n^*(z), \quad /9/$$

де частковий розв'язок  $R_n^*(z)$ , отриманий методом інтегрального лишку [1], має вигляд

$$R_n^*(z) = \begin{cases} -\frac{\beta_n}{8\pi D} \left\{ \left[ \frac{b^{n+2}}{z^{n+2}} - \frac{z^{n+2}}{b^{n+2}} \right] \frac{1}{n+1} + \frac{1}{n-1} \left[ \frac{z^n}{b^{n-2}} - \frac{b^{n+1}}{z^{n-2}} \right] - 4K \left[ \frac{b^{n+1}}{z^n} - \frac{z^n}{b^{n+1}} \right] \right\} & \text{при } z \leq b. \\ 0 & \text{при } z \geq b \end{cases} \quad /10/$$

Сталі інтегрування  $B_n, D_n$  визначаємо з умови обмеженості розв'язку при  $z=0$

$$B_n = \frac{b^{n-2}}{(n+1)R^n} \left[ b^2 - 4K(n+1) \right],$$

$$D_n = -\frac{1}{n-1} \left(\frac{b}{R}\right)^{n-2},$$

/11/

а сталі  $A_n, C_n, P_n$  - визначаємо з граничних умов /4/:

$$C_n = \left\{ n(n+2)(1-\nu)B_n + \left[ \frac{8n(n+1)}{\delta^2 R^2} - n(1-\nu) + (1+\nu) - 2n \left( 1 - 2 \frac{J'_n(\delta R)}{J_n(\delta R)} \right) - \frac{4n}{R^2} \left( \delta^2 - \frac{R}{\delta} \frac{J'_n(\delta R)}{J_n(\delta R)} \right) \right] (n-1) D_n \right\} /$$

$$/ [(1+\nu) - 2n \left( 1 - 2 \frac{J''_n(\delta R)}{J_n(\delta R)} \right) + \frac{4n}{R^2} \left( \delta^2 - \frac{R}{\delta} \frac{J'_n(\delta R)}{J_n(\delta R)} \right) ]$$

$$A_n = \left\{ (n+1)(1-\nu)B_n - \left[ \frac{8(n+1)}{\delta^2 R^2} - (1-\nu) + 4 \left( 1 - 2 \frac{J''_n(\delta R)}{J_n(\delta R)} \right) \right] (n-1) D_n - \left[ \frac{8(n-1)}{\delta^2 R^2} + (1-\nu) + 4 \left( 1 - 2 \frac{J'_n(\delta R)}{J_n(\delta R)} \right) \right] (n+1) C_n \right\} \frac{1}{(n-1)(1-\nu)}, \quad /12/$$

де  $J_n(\omega), J'_n(\omega), J''_n(\omega)$  - бesselові функції уявного аргумента та їх похідні.

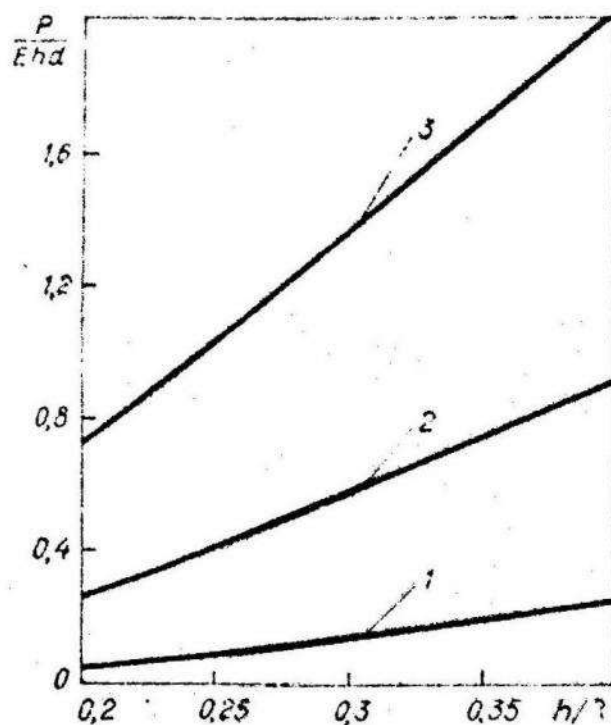


Рис. 2.

Зусилля герметизації визначаємо з умови /2/. Використовуючи /1/ та /5/, дістаємо

$$R_n(\beta) = \frac{d}{2}.$$

/13/

Звідси на основі /8/-/10/ знаходимо зусилля герметизації

$$P = \pi b^2 p + \frac{8\pi n D d}{b^2 S}, \quad /14/$$

де  $S = A_n \left(\frac{b}{R}\right)^n + B_n \left(\frac{b}{R}\right)^{-n} + C_n \left(\frac{b}{R}\right)^{n+2} + D_n \left(\frac{b}{R}\right)^{-n+2}$ ,

а сталі  $A_n, B_n, C_n, D_n$  визначено формулами /11/, /12/.

Одержані результати легко перенести на випадок, коли функція  $f$ , яка визначає відхилення опори від плоскої форми, зображена рядом Фур'є загального вигляду.

На рис. 2 показана залежність величини  $\frac{\rho}{E h d}$  від відношення  $h/R$ , при  $\rho=0; \nu=0,3; b/R=0,95$ . Криві 1-3 відповідають випадкам  $n=2,3,4$ .

Список літератури: 1. К р и л о в А.Н. О некоторых дифференциальных уравнениях математической физики. - М.; Л., Гостехиздат, 1960.  
2. Т и м о ш е н к о С.П., В о й н о в с к и й - К р и г е р С. Пластинки и оболочки. - М.: Наука, 1966.

Стаття надійшла до редколегії 05.04.82

УДК 539.377

В.З.Ділик, Б.М.Коршуба

ТЕМПЕРАТУРНІ НАПРУЖЕННЯ

У НАПІВБЕЗМЕЖНІЙ ЦИЛІНДРИЧНІЙ ОБОЛОНЦІ

ПРИ КУСКОВО-СТАЛОМУ КОЕФІЦІЄНТІ ТЕПЛОВІЩАЧІ

Розглянемо вільно оперту та теплоізольовану по краю  $\alpha=0$  циліндричну оболонку, що нагрівається внутрішніми джерелами тепла потужністю  $q_0 = \text{const}$  або зовнішнім середовищем температури  $t_0 = \text{const}$ , які діють на відстані  $d$  від її краю відповідно по областях  $d \leq \alpha \leq c, |\gamma| \leq \delta$  і  $d \leq \alpha \leq c, \gamma = \pm \delta$ . Через поверхні  $\gamma = \pm \delta$  оболонки здійснюється конвективний теплообмін зі зовнішнім середовищем нульової температури при нагріванні внутрішніми дже-